

# Tafeln

Autor(en): **[s.n.]**

Objektyp: **Appendix**

Zeitschrift: **Eclogae Geologicae Helvetiae**

Band (Jahr): **59 (1966)**

Heft 1

PDF erstellt am: **21.07.2024**

## **Nutzungsbedingungen**

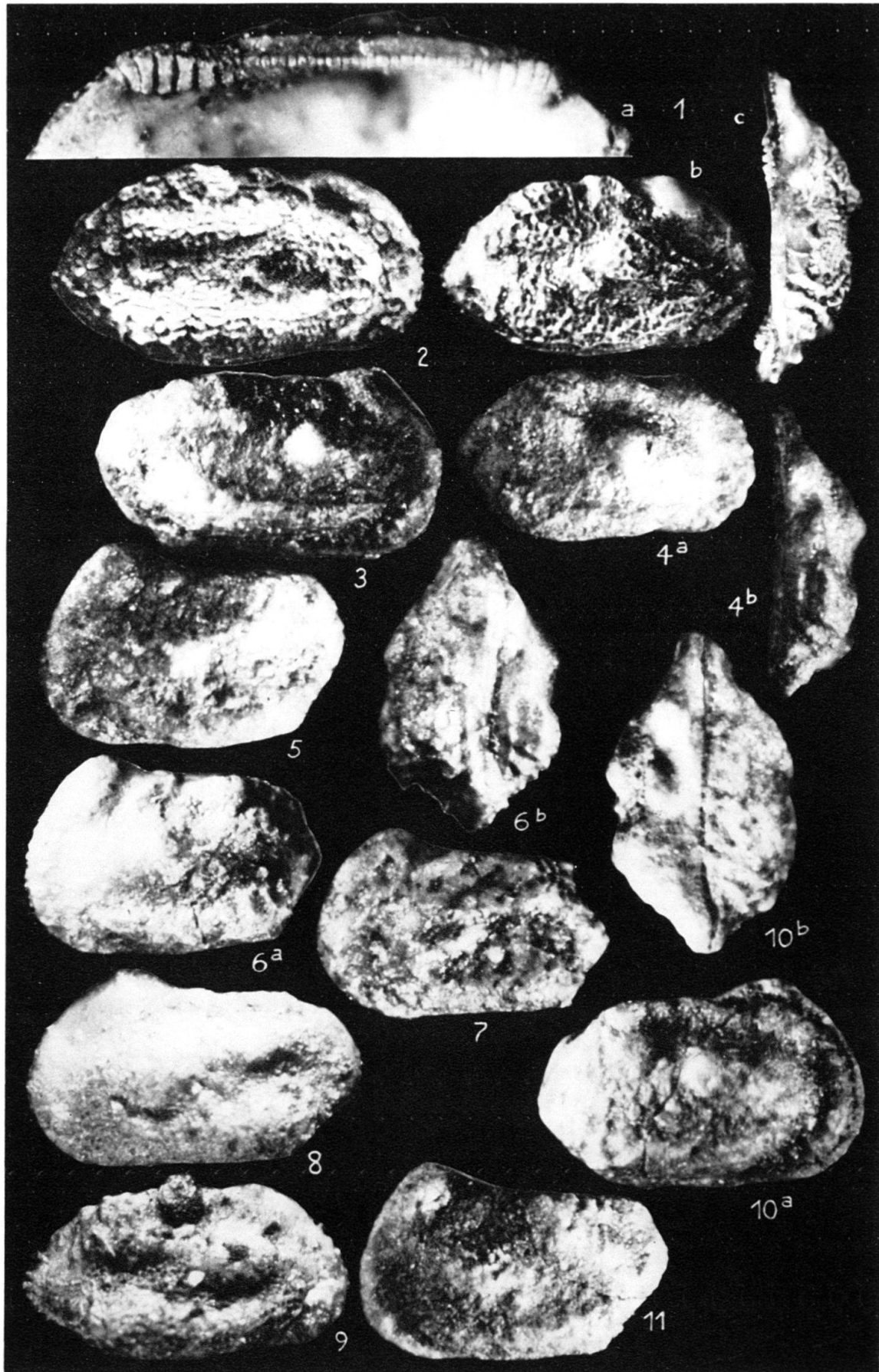
Die ETH-Bibliothek ist Anbieterin der digitalisierten Zeitschriften. Sie besitzt keine Urheberrechte an den Inhalten der Zeitschriften. Die Rechte liegen in der Regel bei den Herausgebern. Die auf der Plattform e-periodica veröffentlichten Dokumente stehen für nicht-kommerzielle Zwecke in Lehre und Forschung sowie für die private Nutzung frei zur Verfügung. Einzelne Dateien oder Ausdrucke aus diesem Angebot können zusammen mit diesen Nutzungsbedingungen und den korrekten Herkunftsbezeichnungen weitergegeben werden. Das Veröffentlichen von Bildern in Print- und Online-Publikationen ist nur mit vorheriger Genehmigung der Rechteinhaber erlaubt. Die systematische Speicherung von Teilen des elektronischen Angebots auf anderen Servern bedarf ebenfalls des schriftlichen Einverständnisses der Rechteinhaber.

## **Haftungsausschluss**

Alle Angaben erfolgen ohne Gewähr für Vollständigkeit oder Richtigkeit. Es wird keine Haftung übernommen für Schäden durch die Verwendung von Informationen aus diesem Online-Angebot oder durch das Fehlen von Informationen. Dies gilt auch für Inhalte Dritter, die über dieses Angebot zugänglich sind.

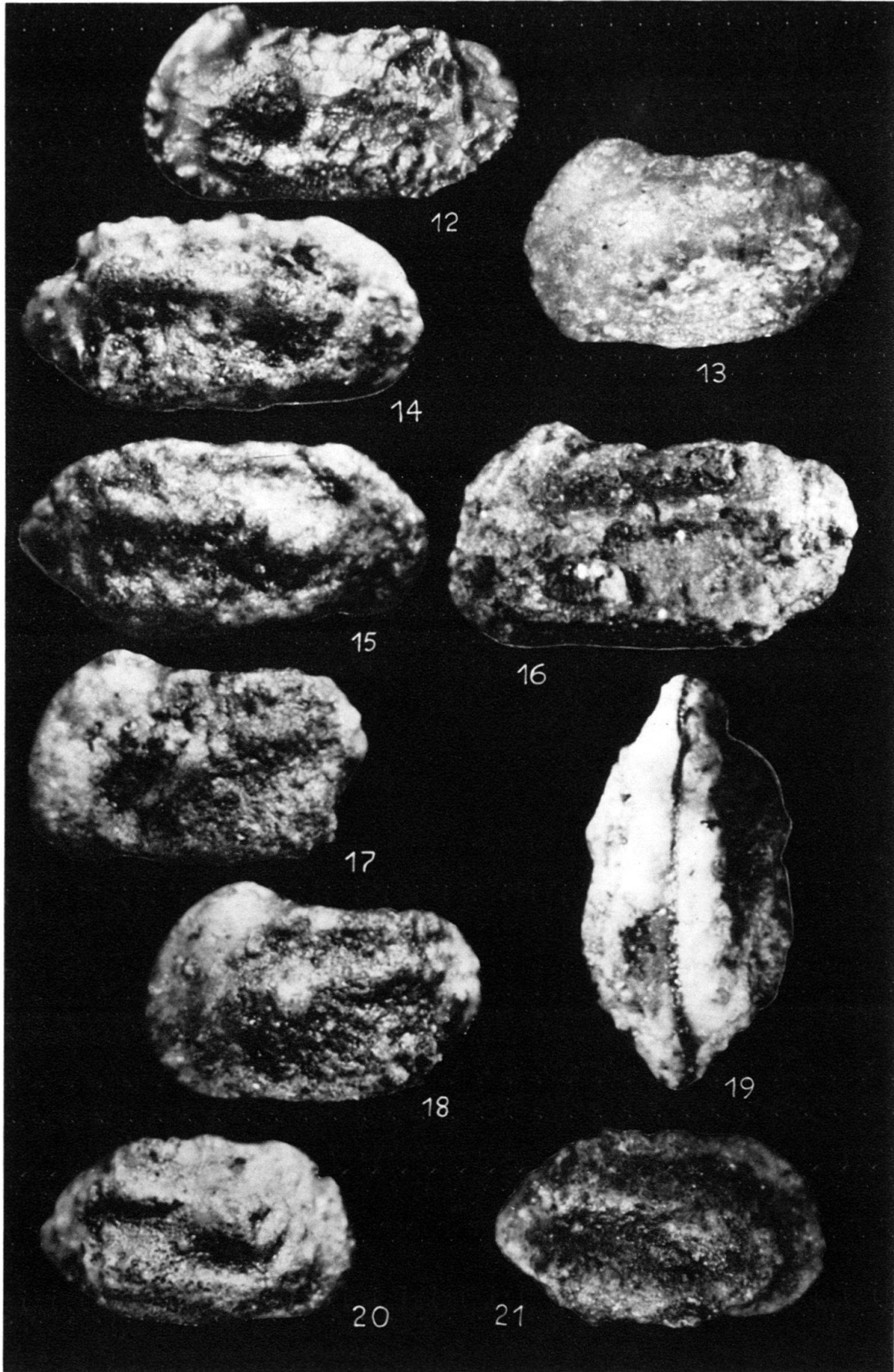
## Tafel I

	Seite
Fig. 1–11 <i>Protocythere emslandensis</i> BARTENSTEIN & BURRI 1955 . . . . .	99
1, 2 «Wealden 4» der Bohrung Emlichheim–West 1	
1: Neuaufnahme des Paratypoids von Textfig. 4 bei BARTENSTEIN & BURRI 1955 (id. Taf. 29, Fig. 2, Exemplar oben links)	
2: Holotyp, reproduziert nach Taf. 29, Fig. 1, von BARTENSTEIN & BURRI 1955	
3–6, 10, 11: Basales Valanginien; oberster Abschnitt der Mergel und Mergelkalke des Typprofiles von Valangin (3–6: Probe RO 52; 10: V 5b; 11: RO 54)	
7 Oberes Unter-Valanginien (Marbre bâtard) der Gorges de l'Arcuse NW Neuchâtel (Probe RO 47)	
8, 9 Unter-Valanginien, unterster Abschnitt der «Calcaires marneux et marnes» des Profils «Chapeau de Gendarme» (NW Gex, frz. Jura) (Probe MOUTY: 44)	
1a RK ♀, Paratypoid, von innen (Schlosspartie) (Vergr. × 80)	
1b, c id., von aussen und oben	
2 RK ♂, <i>Holotyp</i> , von aussen (Senckenb. Museum Frankfurt/M; Nr. Xe 2283)	
3 G ♂ von rechts	
4a, b RK ♀ von aussen und oben (Schlosszähne abgerieben); F 378	
5 LK ♀ von aussen, F 378	
6a, b G ♀ von links und oben	
7 LK ♀ von aussen, F 380	
8 LK ♂ von aussen, F 379	} Beginn des Ueberganges von <i>P. emslandensis</i> zu
9 RK ♂ von aussen, F 379	
10a, b G ♀ von rechts und oben, F 381 (Dorsalrippe leistenförmig und hinten umbiegend)	
11 LK ♀ von aussen, F 382	



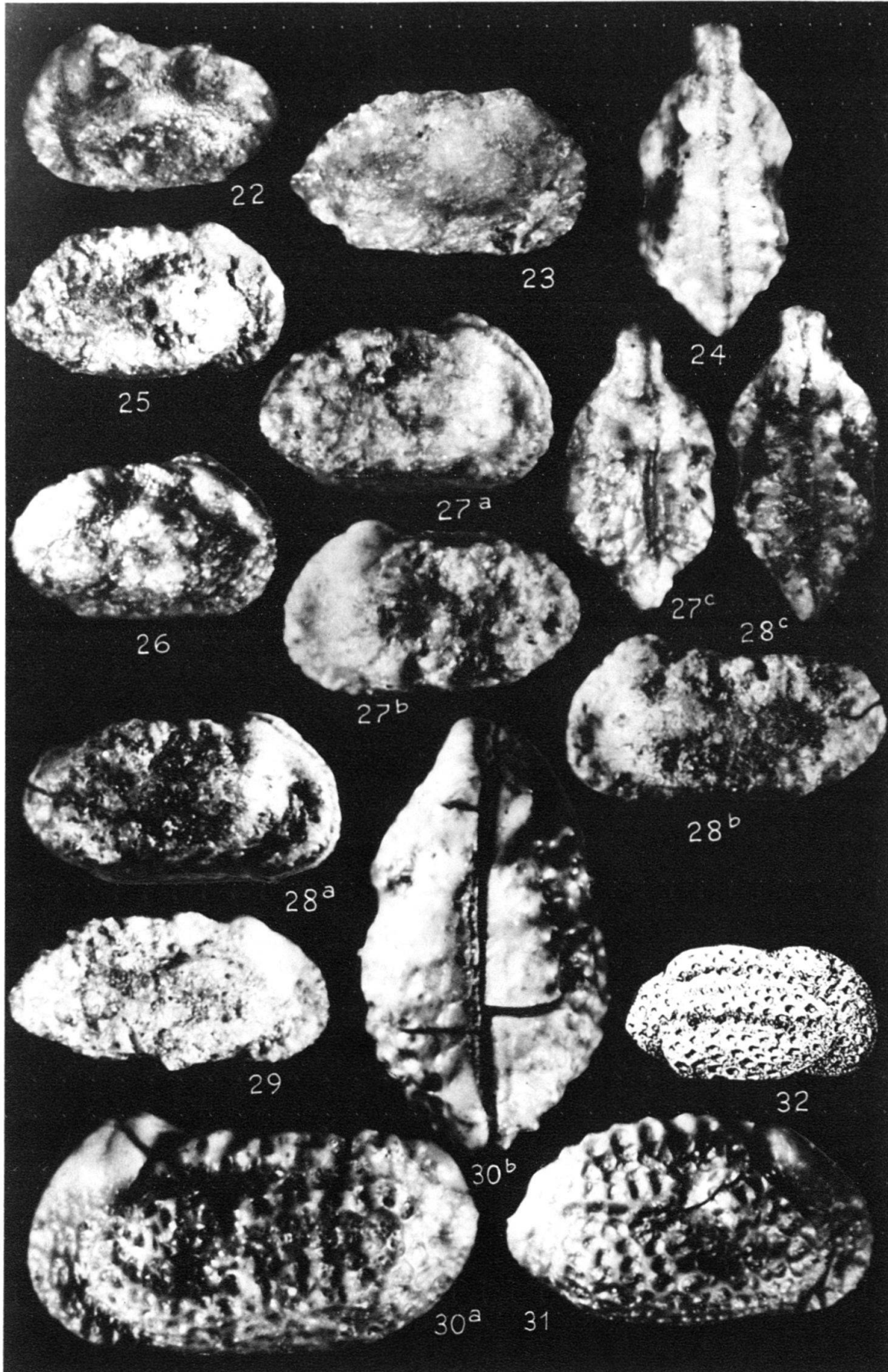
## Tafel II

	Seite
Fig. 12-21 <i>Protocythere divisa</i> n. sp. . . . .	103
12 « <i>Protocythere 510b</i> » BARTENSTEIN & BRAND 1951; Ober-Valendis 1, Bohrung in NW-Deutschland	
13-21 Marnes d'Arzier (basales Ober-Valanginien), Le Landeron (Probe RO 22)	
12 LK ♂ von aussen	
13 LK ♀ von aussen, <i>Holotyp</i> , F 383	
14 RK ♂ von aussen	
15 RK ♂ von aussen, F 385	
16 LK ♂ von aussen, F 384	
17 LK ♀ von aussen, F 385 (stark ausladende Ventralrippe!)	
18 LK ♀ von aussen, F 385	
19 G ♂ von oben, F 385	
20 RK ♀ von aussen	
21 RK ♀ von aussen, F 385	



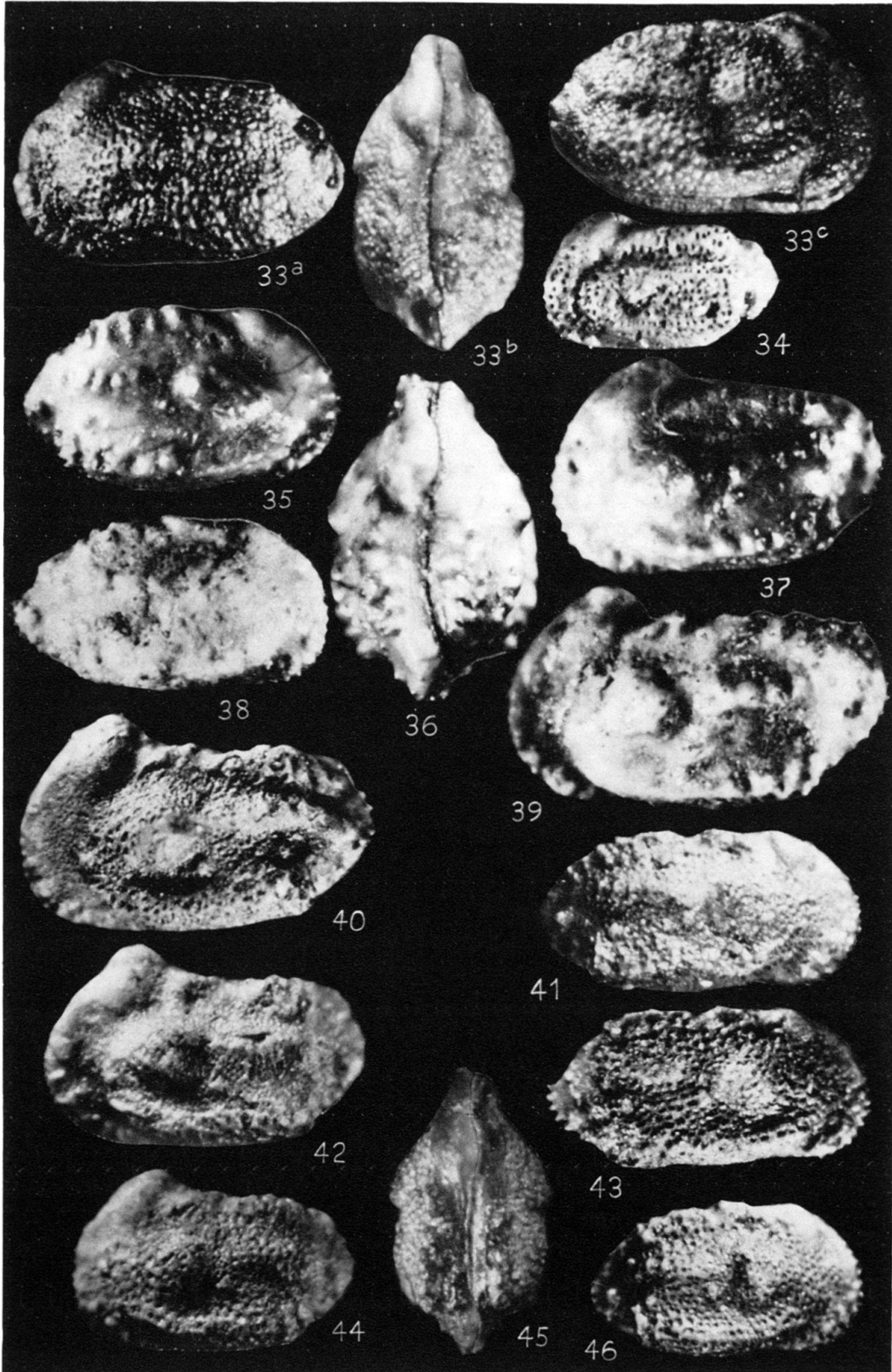
### Tafel III

	Seite
Fig. 22–29 <i>Protocythere helvetica</i> n. sp. . . . .	107
22 « <i>Protocythere</i> sp. 510» BARTENSTEIN & BRAND 1951; Ober-Valendis 1, Bohrung in NW-Deutschland	
23–29 Marnes d'Arzier (basales Ober-Valanginien) Le Landeron (Probe RO 22)	
22 G ♀ von links	
23 RK ♀ von aussen, <i>Holotyp</i> , F 386	
24 G ♂ von oben	
25 RK ♀ von aussen, F 387	
26 G ♀ von rechts	
27a–c G ♀ von rechts, links und oben, F 387	
28a–c G ♂ von rechts, links und oben, F 387	
29 RK ♂ von aussen, F 387	
Fig. 30–31 <i>Protocythere pseudopropria</i> BARTENSTEIN & BRAND 1959 . . . . .	108
«Mittelvalendis 2», Bohrung in NW-Deutschland	
30a, b G ♂ von links und oben	
31 RK ♀ von aussen	
Fig. 32 <i>Protocythere cavernosa</i> LJUBIMOVA 1955 . . . . .	109
Oberes Volgien der Wolga–Ural-Gegend. Reproduziert aus LJUBIMOVA 1955, Taf. 9, Fig. 8a	
32 RK von aussen, <i>Holotyp</i>	



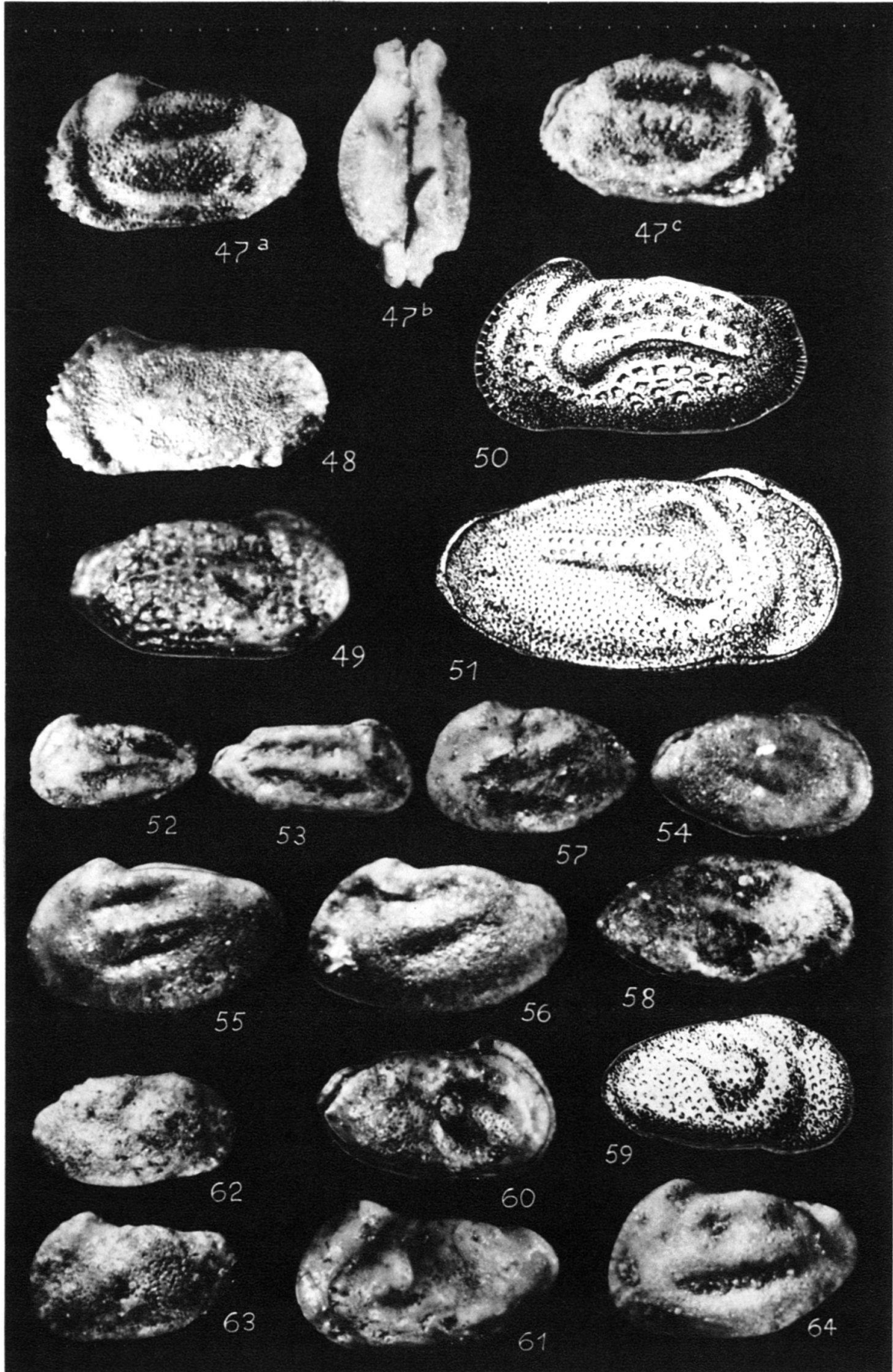
## Tafel IV

		Seite
Fig. 33	<i>Protocythere saxonica</i> BARTENSTEIN & BRAND 1959 . . . . . «Ober-Valendis 1», Bohrung in NW-Deutschland	109
	33a-c G ♀ von links, oben und rechts	
Fig. 34	<i>Protocythere fistulosa</i> LJUBIMOVA 1955 . . . . . Oberes Volgien, Wolga-Gebiet (Originalaufnahme)	109
	34 LK ♂ von aussen	
Fig. 35-39	<i>Protocythere pustulata</i> BARTENSTEIN & BRAND 1959 . . . . . 35-37 «Ober-Valendis 2a-b», Bohrung in NW-Deutschland 38-39 Marnes à Bryozoaires (oberstes Valanginien), L'Auberson/Ste- Croix (Probe RO 71)	109
	35 RK ♀ von aussen	
	36 G ♀ von oben	
	37 LK ♀ von aussen	
	38 RK ♀ von aussen, F 388	
	39 LK ♂ von aussen, F 388	
Fig. 40-46	<i>Protocythere reicheli</i> n. sp. . . . . : . . . . . Marnes à Bryozoaires (oberstes Valanginien) L'Auberson/Ste- Croix (Probe RO 71)	110
	40 LK ♀ (?) von aussen, F 390 («Riesen-Exemplar»)	
	41 RK ♂ von aussen, F 391	
	42 LK ♂ von aussen, F 391	
	43 RK ♂ von aussen, F 390	
	44 LK ♀ von aussen, F 391	
	45 G ♀ von oben, <i>Holotyp</i> , F 389	
	46 RK ♀ von aussen, F 391	



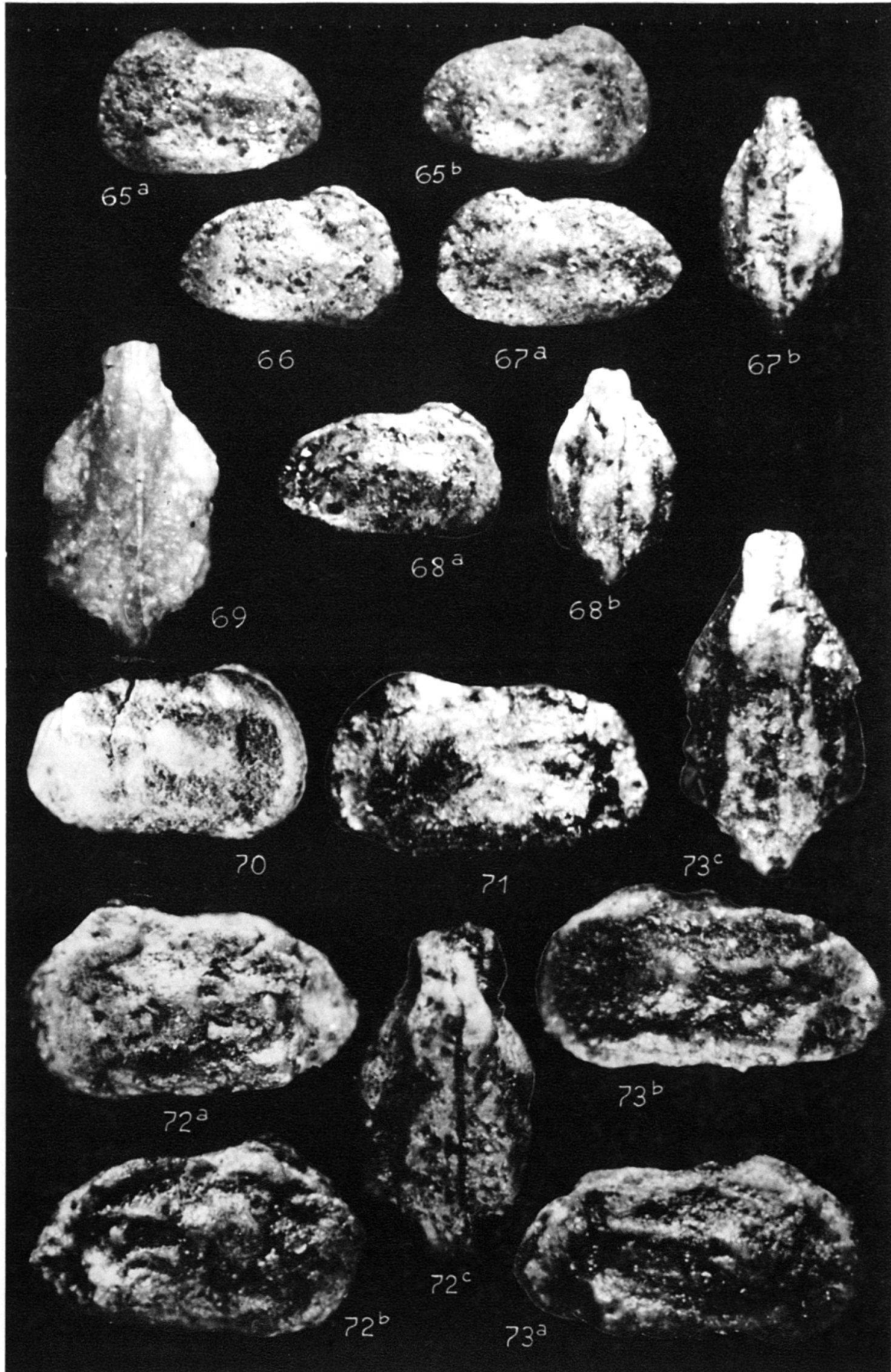
## Tafel V

		Seite
Fig. 47	<i>Mandocythere (Costacythere) frankei frankei</i> TRIEBEL 1938 . . . . . Marnes à Bryozoaires (oberstes Valanginien; L'Auberson/Ste-Croix (Probe RO 71) 47a-c G von links, oben (etwas klaffende Klappen) und rechts, F 392	117
Fig. 48	<i>Mandocythere (Costacythere) ? n. sp.</i> . . . . . Fundort wie 47 48 LK von aussen, F 393	118
Fig. 49	<i>Protocythere hannoverana</i> BARTENSTEIN & BRAND 1959 . . . . . «Mittel-Valendis 2», Bohrung in NW-Deutschland 49 G von rechts	112
Fig. 50-51	<i>Protocythere ? cf. propria</i> (ŠARAPOVA 1939) . . . . . «Neokom» der Wolga-Ural-Gegend. Reproduziert aus LJUBIMOVA 1955, Taf. 7, Fig. 8 und Taf. 8, Fig. 1a 50 G von links 57 G von rechts	111, 113, 119
Fig. 52-53	<i>Protocythere hechti</i> TRIEBEL 1938 . . . . . Basales Hauterivien, L'Auberson/Ste-Croix (Probe RO 72) 52 LK ♀ von aussen, F 394 53 G ♂ von rechts, F 394	111
Fig. 54-58	<i>Protocythere praetriplicata</i> BARTENSTEIN & BRAND 1959 . . . . . 54, 55 «Ober-Valendis 1», Bohrung in NW-Deutschland 56-58 Oberstes Valanginien (Fundort wie 47) 54 G ♀ von rechts 55 G ♂ von links 56 LK ♂ von aussen, F 395 57 G ♀ von links, F 396 58 RK ♂ von aussen, F 395	113
Fig. 59	<i>Protocythere fursenkoi</i> LJUBIMOVA 1955 . . . . . «Neokom» der Wolga-Ural-Gegend, reproduziert aus LJUBIMOVA 1955, Taf. 10, Fig. 1a 59 RK von aussen, Holotyp	114
Fig. 60-61	<i>Protocythere sp. 507</i> BARTENSTEIN & BRAND 1951 . . . . . «Ober-Valendis 1», Bohrung in NW-Deutschland 60 G ♀ von rechts 61 LK ♂ von aussen	114
Fig. 62-63	<i>Protocythere aff. sp. 507</i> . . . . . Oberstes Valanginien (Fundort wie 47) 62 RK von aussen, F 397 63 LK von aussen, F 397	115
Fig. 64	<i>Protocythere triplicata</i> (ROEMER 1841) . . . . . Basales Hauterivien, L'Auberson/Ste-Croix (Probe RO 72) 64 LK ♀ von aussen, F 398	114



## Tafel VI

	Seite
Fig. 65–68 <i>Protocythere</i> n. sp. . . . .	115
65, 66, 68 Marnes d'Arzier (unteres Ober-Valanginien), Champ du Moulin	
67 Calcaire roux (Ober-Valanginien), Cressier E Neuchâtel (Probe 311 von H. BARTENSTEIN; s. BARTENSTEIN & BURRI 1955)	
65a, b G ♀ von links und rechts, F 400	
66 G ♀ von rechts, F 400	
67 G ♂ von links und oben, F 399	
68a, b G ♀ von rechts und oben, F 400	
Fig. 69–73 <i>Cythereis matura</i> n. sp. . . . .	118
69, 72, 73 Marnes d'Arzier (unteres Ober-Valanginien), Le Landeron (Probe RO 22)	
70, 71 Oberstes Unter-Valanginien (zirka 6 m unter den Marnes d'Arzier), Col du Marchairuz (Waadtländer Jura, N Nyon; Probe MOUTY 101)	
69 G ♀ von oben, <i>Holotyp</i> , F 401	
70 G ♀ von rechts, F 404	
71 G ♂ von links, F 403	
72a–c G ♀ von links, rechts und oben, F 402	
73a–c G ♂ von rechts, links und oben, F 402	



## Tafel VII

	Seite
Fig. 74–86 <i>Pseudoprotocythere aubersonensis</i> n. g. n. sp. . . . .	122
74–79 Valanginien W von Warschau, Polen	
80–83, 86 Marnes à Bryozoaires (oberstes Valanginien), L'Auberson/ Ste-Croix (Probe RO 71)	
84–85 Marnes d'Arzier, unteres Ober-Valanginien, Le Landeron (Probe RO 22)	
74a, b RK ♂ von innen und aussen } F 408	
c id. von oben (Vergr. × 80) }	
75a, b G ♂ von rechts und oben	
76 RK ♀ von innen (Vergr. × 80)	
77a, d LK ♀ von innen und aussen } F 408	
b, c id. von innen und oben (Vergr. × 80) }	
78 RK ♂ von innen (Vergr. × 80) (vorderes Schlosselement beschädigt!)	
79 G ♀ von rechts	
80 LK ♀ von aussen, <i>Holotyp</i> , F 405	
81 G ♂ von oben, F 406	
82 LK ♂ von aussen, F 406	
83 RK ♂ von aussen, F 406	
84a, b G ♀ von rechts und links, F 407 } gedrungene Varietät	
85 G ♀ von rechts, F 407 }	
86 RK ♀ von aussen, F 406	



